

ژئوشیمی و تعیین خاستگاه تورمالین‌های منطقه‌ی بروجرد

فرزانه میرسپهوند^۱، زهرا طهماسبی^{*۲}، سیدوحید شاهرخی^۱، احمد احمدی خلجی^۱، محمود خلیلی^۳

- ۱- دانشگاه آزاد اسلامی واحد خرم‌آباد
- ۲- گروه زمین‌شناسی، دانشکده علوم، دانشگاه لرستان
- ۳- گروه زمین‌شناسی، دانشکده علوم، دانشگاه اصفهان

(دریافت مقاله: ۹۰/۴/۲۲؛ نسخه نهایی: ۸۹/۱۲/۸)

چکیده: بررسی آنالیزهای ریزپردازشی (نقطه‌ای) از تورمالین‌های موجود در رگه‌های کوارتز - تورمالین در کوارتزدیوریت‌های نظام آباد، رگه‌های آپلیتی و پگماتیتی تورمالین‌دار در گرانودیوریت‌های قلعه ثمورخان، گیحالی و کبوترلان، رگه‌های پگماتیتی در شیسته‌های کله‌جوب و ندول‌های تورمالین در مونزو-گرانیت‌های آستانه و گرانودیوریت‌های دهگاه نشان می‌دهد که اکثر تورمالین‌های این منطقه از نوع شورلیت بوده و تورمالین‌های سوزنی قلعه ثمورخان و برخی از نمونه‌های گیحالی و کله‌جوب از نوع فوئیتیت‌اند. خود شکلی و عدم منطقه‌بندی، بالا بودن مقدار $\text{Fe}/\text{Fe} + \text{Mg}$ ، نقصان در جایگاه X و بالا بودن مقدار Al در اکثر تورمالین‌ها حاکی از ماقمایی بودن آنهاست، و وجود تورمالین‌ها به صورت گرهک در گرانیت‌های پر آلومین دهگاه و آستانه نشانه‌ی روشنی بودن ماقمای خاستگاه آنها از B است. بنابراین تورمالین‌های مورد بررسی وابسته به محیط‌های گرانیتی بوده و بوسیله یک گرماب با خاستگاه ماقمایی به وجود آمده‌اند.

واژه‌های کلیدی: آستانه؛ بروجرد؛ تجزیه‌ی نقطه‌ای؛ تورمالین.

شده‌اند [۵]: ۱- نواحی گرانیتی ۲- نواحی پگماتیتی ۳- نواحی پگماتیتی تزریق شده در نواحی دگرگونی ۴- تورمالین‌های اتوژنتیک رسوبی ۵- تورمالین‌هایی از نواحی قدیمی‌تر. در اینجا با استفاده از نتایج آنالیزهای ریز گمانه‌ی الکترونی، ترکیب تورمالین را در سنگ‌های متنوع منطقه‌ی بروجرد مورد بررسی قرار داده و نوع و خاستگاه آن‌ها در واحدهای مختلف تورمالین‌دار تعیین شده است.

روش بررسی

برای تعیین ترکیب، نوع و خاستگاه تورمالین در واحدهای مختلف تورمالین‌دار منطقه‌ی بروجرد، در مجموع از گره‌های تورمالینی رostتای دهگاه، رگه‌های تورمالین‌دار رostتای گیحالی، رگه‌های آپلیتی رostتای کبوترلان، پگماتیت‌های رostتای قلعه ثمورخان، پگماتیت‌های تورمالین‌دار رostتای از

مقدمه
تورمالین کانی رایج و فرعی انواع سنگ‌های آذرین، رسوبی و دگرگونی است و به عنوان یک کانی ماقمایی اولیه در سنگ‌های گرانیتی و پگماتیتی متبلور می‌شود [۲، ۱]. این کانی به دلیل پایداری در گستره‌ی وسیعی از تغییرات دما و فشار و ترکیب شیمیایی پیچیده و متنوع در بررسی‌های سنگ‌شناسی از اهمیت خاصی برخوردار است [۳، ۴]. پیچیدگی شیمیایی تورمالین برخلاف اغلب کانی‌ها، ناشی از جانشینی‌های گسترده‌ای است که در این کانی وجود دارد و باعث می‌شود این کانی محیط تشکیل بسیار گسترده داشته و برای پی بردن به سنگ‌زایی و جایگاه زمین‌شناسی سنگ‌های میزبان خود مورد استفاده قرار گیرد.

بر اساس ویژگی‌های نوری مانند رنگ، چندرنگی، سختی و ترکیب شیمیایی پنج خاستگاه متحمل برای تورمالین پیشنهاد

* نویسنده مسئول، تلفن: ۰۹۱۶۳۶۹۲۱۷۹، نامبر: ۰۶۶۱ (۶۲۰۰۰۵)، پست الکترونیکی: zahra_tak@yahoo.com

شیمی تورمالین‌ها بیش از ۲۲ نقطه از واحدهای مختلف تورمالین‌دار با استفاده از دستگاه Super probe 8400 [ابرپردازنده] و استانداردهای مختلف در آزمایشگاه ریزپردازشی الکترونی در دانشگاه Huelva اسپانیا توسط مولف دوم مورد، آنالیزهای ریزپردازشی (نقطه‌ای) قرار گرفتند (جدول ۱).

کله‌جوب، رگه‌های کوارتز- تورمالین روستای نظام آباد و
گرهک‌های تورمالین دار منطقه‌ی آستانه واقع در حوالی روستای
سرسختی نمونه‌برداری شده است. سپس ۳۰ مقطع نازک
میکروسکوپی و ۶ مقطع نازک- صیقلی از نمونه‌های سنگی
مخالف برای بررسی‌های سنگ‌نگاری تهیه شدند. برای بررسی

جدول ۱ آنالیزهای مایکروپرورب از تورمالین‌های موجود در سنگ‌های مختلف مورد بررسی.

محل نمونه برداری	تورمالین های سوزنی روسی استقله تمورخان				تورمالین های روستای گیجگالی				تورمالین های ندولی آستانه		
	SiO ₂	۳۶/۲۲۸	۳۶/۲۳۱	۳۶/۲۸۲	۳۶/۳۵۳	۳۶/۶۱۱	۳۵/۷۶۷	۳۶/۲۶۳	۳۵/۹۷۰	۳۵/۷۴۱	۳۵/۷۶۶
TiO ₂	۰/۱۲۴	۰/۱۱۹	۰/۷۱۲	۰/۲۴۳	۰/۱۰۳	۰/۰۱۰	۰/۰۱۷	۰/۰۰۱	۰/۸۳۴	۰/۷۸۱	۰/۷۰۰
V ₂ O ₃	۰/۰۰۰	۰/۰۰۰	۰/۰۴۳	۰/۰۰۰	۰/۰۱۱	۰/۰۰۲	۰/۰۳۴	۰/۰۰۲	۰/۰۳۴	۰/۰۰۰	
Al ₂ O ₃	۳۵/۸۳۷	۳۶/۰۷۱	۳۱/۵۸۵	۳۵/۸۸۵	۳۵/۱۵۹	۳۶/۱۷۰	۳۴/۹۸۸	۳۴/۸۶۶	۳۵/۳۷۷	۳۴/۸۶۹	۳۴/۸۵۱
FeO*	۱۳/۱۲۹	۱۳/۱۳۶	۱۲/۷۴۹	۱۳/۰۳۶	۱۲/۹۴۶	۱۵/۰۱۳	۱۴/۱۰۲	۱۲/۷۳۸	۱۲/۸۸۷	۱۲/۱۱۰	۱۱/۰۰۱
MnO	۰/۱۱	۰/۱۲۱	۰/۱۱۲	۰/۱۰۱	۰/۰۳۰	۰/۰۹۹	۰/۲۲۳	۰/۱۴۸	۰/۰۸۱	۰/۰۶۸	۰/۰۸۰
MgO	۰/۰۹۷	۰/۰۱	۲/۲۳۶	۰/۰۸۷	۱/۴۷۲	۰/۱۸۱	۰/۶۷۴	۱/۴۸۲	۰/۹۹۰	۲/۰۹۸	۲/۰۵۰
ZnO	۰/۰۹۹	۰/۰۶۵	۰/۰۳۵	۰/۰۶۷	۰/۰۳۲	۰/۰۱۳	۰/۰۲۰	۰/۰۱۶	۰/۰۷۸	۰/۰۴۳	۰/۰۰۰
CaO	۰/۰۴۸	۰/۰۰۷	۰/۰۹۸	۰/۰۰۰	۰/۱۷۹	۰/۱۱۸	۰/۰۵۷	۰/۱۴۳	۰/۱۶۳	۰/۰۲۴	۰/۲۴۲
Na ₂ O	۱/۲۷۳	۱/۲۵۶	۱/۹۵۹	۱/۳۶۳	۱/۸۱۵	۱/۵۲۹	۱/۲۹۳	۱/۶۷۰	۱/۵۷۳	۱/۷۶۹	۱/۷۷۲
K ₂ O	۰/۰۳۸	۰/۰۱۶	۰/۰۳۷	۰/۰۳۰	۰/۰۴۴	۰/۰۴۱	۰/۰۱۷	۰/۰۳۵	۰/۰۳۰	۰/۰۳۸	۰/۰۳۱
F	۰/۱۴۶	۰/۱۴۱	۰/۴۷۹	۰/۳۱۸	۰/۰۲۱	۰/۰۳۸	۰/۰۵۲	۰/۰۸۴	۰/۰۵۰	۰/۳۹۳	۰/۰۳۰
Cl	۰/۰۰۰	۰/۱۱۱	۰/۰۰۷	۰/۲۱۴	۰/۰۲۴	۰/۰۱۱	۰/۰۰۲	۰/۰۰۲	۰/۰۳۹	۰/۰۱۱	۰/۰۲۱
O=F	-۰/۰۶۱	-۰/۰۵۹	-۰/۰۲۰	-۰/۱۲۴	-۰/۲۱۹	-۰/۰۲۶	-۰/۱۰۸	-۰/۰۴۶	-۰/۰۱۰	-۰/۱۸۰	-۰/۰۱۲۷
O=Cl	۰/۰۰۰	-۰/۰۲۵	-۰/۰۰۲	-۰/۰۴۸	-۰/۰۱۲	-۰/۰۰۲	-۰/۰۰۰	-۰/۰۰۵	-۰/۰۷۰	-۰/۰۰۲	-۰/۰۰۰۵
Total	۸۷/۹۷۰	۸۷/۸۴۹	۸۷/۸۵۱	۸۸/۱۶۵	۸۸/۴۵۳	۸۷/۹۷۰	۸۷/۸۰۲	۸۷/۹۰۹	۸۸/۱۴۱	۸۸/۰۱۴	۸۷/۸۰۷
H ₂ O*	۳/۴۵۲	۳/۵۸۲	۳/۴۲۴	۳/۵۴۷	۳/۰۴۷	۳/۰۴۴	۳/۴۴۷	۳/۴۵۰	۳/۵۴۰	۳/۴۵۰	۳/۶۴۰
B ₂ O ₃ *	۱۰/۰۵۰	۱۰/۶۳۶	۱۰/۸۷۳	۱۱/۰۰۱	۱۱/۰۰۱	۱۰/۹۹۴	۱۰/۷۱۱	۱۰/۰۵۰	۱۰/۹۹۰	۱۰/۷۱۰	۱۰/۰۵۰
Li ₂ O*	۱/۲۵۰	۰/۲۹۴	۱/۰۰۵	۱/۴۵۰	۱/۴۵۰	۰/۰۸۶	۰/۲۶۷	۰/۲۵۰	۰/۰۹۰	۰/۲۷۰	۰/۰۸
Si	۵/۹۴۹	۵/۹۴۳	۶/۰۴۸	۵/۹۶۹	۵/۹۲۳	۵/۹۹۲	۵/۹۸۹	۵/۹۷۵	۵/۸۸۸	۵/۸۷۸	۵/۹۳۹
Ti	۰/۰۱۵	۰/۰۱۵	۰/۰۱۹	۰/۰۳۰	۰/۰۱۳	۰/۰۰۱	۰/۰۰۲	۰/۰۰۰	۰/۱۰۳	۰/۰۹۶	۰/۰۸۶
V	۰/۰۰۰	۰/۰۰۰	۰/۰۰۵	۰/۰۰۰	۰/۰۰۱	۰/۰۰۱	۰/۰۰۰	۰/۰۰۴	۰/۰۰۰	۰/۰۰۰۴	۰/۰۰۰
Al	۶/۹۳۶	۶/۹۷۴	۶/۲۰۶	۶/۹۴۴	۶/۸۹۱	۶/۷۴۶	۶/۸۱۱	۶/۸۲۶	۶/۸۶۹	۶/۷۵۴	۶/۷۲۳
Fe	۱/۰۰۳	۱/۰۰۲	۱/۷۷۷	۱/۷۹۰	۱/۰۰۱	۲/۱۷۳	۱/۹۴۸	۱/۷۷۰	۱/۷۷۶	۱/۶۸۴	۱/۰۰۶
Mn	۰/۰۲۹	۰/۰۳۲	۰/۰۱۸	۰/۰۲۸	۰/۰۳۳	۰/۰۴۳	۰/۰۳۱	۰/۰۲۱	۰/۰۱۱	۰/۰۰۹	۰/۰۱۱
Mg	۰/۱۴۶	۰/۱۲۳	۰/۰۰۴	۰/۱۴۴	۰/۰۴۵	۰/۰۴۵	۰/۱۶۶	۰/۰۷۷	۰/۰۴۳	۰/۰۴۲	۰/۰۶۱
Zn	۰/۰۱۲	۰/۰۰۸	۰/۰۰۴	۰/۰۰۸	۰/۰۰۴	۰/۰۰۲	۰/۰۰۲	۰/۰۰۲	۰/۰۱۰	۰/۰۰۵	۰/۰۰۰
Ca	۰/۰۰۸	۰/۰۱۰	۰/۱۰۷	۰/۰۰۹	۰/۰۳۲	۰/۰۲۱	۰/۰۱۰	۰/۰۲۵	۰/۰۲۹	۰/۰۳۶	۰/۰۴۳
Na	۰/۴۰۵	۰/۳۹۹	۰/۸۳۳	۰/۴۳۴	۰/۵۸۵	۰/۴۹۶	۰/۴۱۴	۰/۵۳۸	۰/۰۲	۰/۰۶۴	۰/۰۴۶
K	۰/۰۰۸	۰/۰۰۳	۰/۰۰۸	۰/۰۰۶	۰/۰۰۹	۰/۰۰۹	۰/۰۰۴	۰/۰۰۷	۰/۰۰۶	۰/۰۰۸	۰/۰۰۶
F	۰/۰۷۶	۰/۰۷۳	۰/۰۲۵۳	۰/۱۶۵	۰/۰۷۴	۲/۸۵	۰/۱۳۲	۰/۰۰۷	۰/۱۳۱	۰/۰۲۰	۰/۰۱۶
Cl	۰/۰۰۰	۰/۰۳۱	۰/۰۰۲	۰/۰۵۹	۰/۰۲۰	۰/۰۰۳	۰/۰۰۰	۰/۰۰۶	۰/۰۱۶	۰/۰۰۳	۰/۰۰۶
Sum	۱۵/۳۱۳	۱۵/۳۰۹	۱۵/۷۰۰	۱۵/۳۶۲	۱۵/۶۵۵	۱۵/۰۲۹	۱۵/۳۷۸	۱۵/۰۳۵	۱۵/۴۳۷	۱۵/۰۳۲	۱۵/۴۷۱
Mg*	۰/۰۷۵	۰/۰۶۴	۰/۳۱۲	۰/۰۷۴	۰/۱۶۹	۰/۰۲۰	۰/۰۷۹	۰/۱۷۲	۰/۱۲۰	۰/۲۳۶	۰/۲۸۹
Xsite	۰/۴۲۲	۰/۴۱۳	۰/۷۴۸	۰/۴۴۹	۰/۶۲۷	۰/۰۲۶	۰/۴۲۸	۰/۰۷۱	۰/۰۳۷	۰/۶۰۷	۰/۰۹۵
Xvac	۰/۰۷۸	۰/۰۸۷	۰/۰۲۰	۰/۱۶۵	۰/۰۷۴	۲/۸۵	۰/۱۳۲	۰/۰۰۷	۰/۱۳۱	۰/۰۲۰	۰/۰۱۶
Na+K	۰/۴۱۳	۰/۰۴۰	۰/۶۴۱	۰/۱۴۰	۰/۰۹۵	۰/۰۵۰	۰/۴۱۸	۰/۰۴۵	۰/۰۵۰	۰/۰۷۲	۰/۰۵۳
Xvac+Na	۰/۹۸۴	۰/۹۸۷	۰/۸۸۵	۰/۹۸۵	۰/۹۵۹	۰/۹۷۰	۰/۹۸۶	۰/۹۶۷	۰/۹۶۵	۰/۹۵۶	۰/۹۵۱
Xvac/Xvac+Na	۰/۰۸۸	۰/۰۹۵	۰/۲۸۵	۰/۰۶۰	۰/۳۹۰	۰/۴۸۸	۰/۰۸۰	۰/۴۴۴	۰/۴۷۹	۰/۰۱۱	۰/۰۴۵
Mg/Mg+Fe	۰/۰۷۵	۰/۰۶۴	۰/۳۱۲	۰/۰۷۴	۰/۱۶۹	۰/۰۲۰	۰/۰۷۹	۰/۱۷۲	۰/۱۲۰	۰/۲۳۶	۰/۲۸۹
R2	۰/۹۰۵	۰/۹۳۶	۰/۳۷۳	۰/۹۵۳	۰/۸۳۱	۰/۷۴۰	۰/۸۰۳	۰/۸۰۲	۰/۸۹۴	۰/۷۶۰	۰/۷۷۶
R2*	۲/۸۸۴	۲/۸۹۳	۲/۹۷۳	۲/۹۱۵	۳/۰۲۹	۳/۰۰۱	۲/۹۴۸	۲/۹۵۹	۲/۹۲۴	۲/۹۴۸	۲/۹۰۴

ادامه جدول ۱

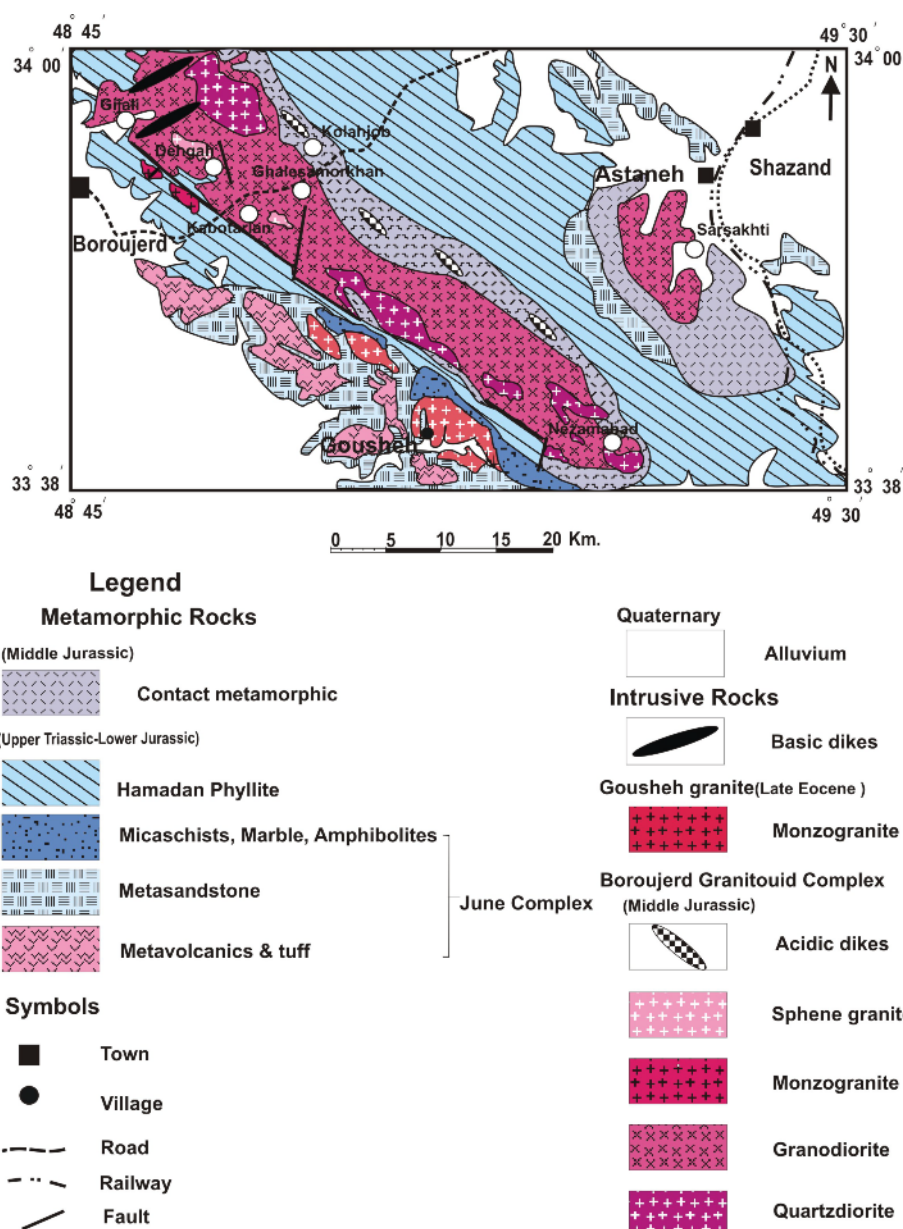
محل نمونه برداری	تورمالین‌های ندولی روستای دهگان				تورمالین‌های روستای کله‌جوب				تورمالین‌های روستای کبوترلان			
SiO ₂	۳۶,۰۵۷	۳۶,۱۸۸	۳۶,۰۲۲	۳۵,۹۵۷	۳۴,۵۶۲	۳۴,۹۷۷	۳۶,۰۰۱	۳۶,۱۰۱	۳۶,۳۸۲	۳۶,۳۸۳	۳۶,۲۶۶	
TiO ₂	۱,۰۶۷	۰,۹۰۵	۰,۸۴۸	۱,۰۴۳	۰,۸۳۷	۰,۷۳۵	۰,۸۵۳	۰,۲۸۶	۰,۱۴۳	۰,۱۸۲	۰,۲۱۴	
V ₂ O ₃	۰,۰۳۴	۰,۰۰۰	۰,۰۳۲	۰,۰۳۶	۰,۰۳۸	۰,۰۰۰	۰,۰۱۵	۰,۰۵۸	۰,۰۱۱	۰,۰۱۵	۰,۰۰۰	
Al ₂ O ₃	۳۴,۷۲۴	۳۴,۸۷۹	۳۴,۹۸۰	۳۴,۳۴۴	۳۵,۹۰۷	۳۵,۷۲۳	۳۵,۷۹۴	۳۵,۴۷۷	۳۵,۴۹۶	۳۵,۵۵۰	۳۵,۶۹۹	
FeO*	۱۰,۰۹	۱۰,۵۴۷	۱۰,۷۰۴	۱۰,۹۷۴	۱۲,۵۹۶	۱۲,۷۲۲	۱۰,۵۸۲	۱۱,۶۸۹	۱۲,۰۷۴	۱۲,۰۴۳	۱۱,۵۵۵	
MnO	۰,۰۷۷	۰,۰۵۲	۰,۰۷۳	۰,۰۷۹	۰,۱۱۹	۰,۱۳۲	۰,۰۶۳	۰,۰۸۶	۰,۱۱۹	۰,۱۰۶	۰,۷۰۴	
MgO	۳,۱۸۶	۳,۱۰۵	۲,۹۱۹	۳,۱۶۴	۱,۳۷۸	۱,۳۰۸	۲,۵۸۲	۲,۱۶۰	۱,۸۶۳	۱,۹۱۷	۲,۱۵۱	
ZnO	۰,۰۳۱	۰,۰۱۹	۰,۰۴۶	۰,۰۰۰	۰,۰۸۵	۰,۰۴۳	۰,۰۹۱	۰,۰۸۲	۰,۰۷۱	۰,۰۸۷	۰,۰۷۹	
CaO	۰,۳۸۹	۰,۳۷۸	۰,۳۷۶	۰,۳۹۸	۰,۳۶۲	۰,۳۲۴	۰,۴۲۳	۰,۱۹۸	۰,۱۵۵	۰,۱۶۰	۰,۱۶۶	
Na ₂ O	۱,۸۷۰	۱,۷۷۵	۱,۷۹۰	۱,۷۹۹	۱,۶۷۱	۱,۶۹۷	۱,۵۸۵	۱,۶۱۶	۱,۶۳۸	۱,۶۵۷	۱,۶۶۳	
K ₂ O	۰,۰۳۱	۰,۰۲۵	۰,۰۳۷	۰,۰۵۱	۰,۰۳۹	۰,۰۴۲	۰,۰۳۴	۰,۰۳۶	۰,۰۳۵	۰,۰۳۴	۰,۰۴۴	
F	۰,۱۹۲	۰,۲۰۲	۰,۲۷۶	۰,۱۷۰	۰,۰۴۷	۰,۰۸۴	۰,۱۵۵	۰,۲۳۵	۰,۳۰۷	۰,۳۹۲	۰,۳۲۶	
Cl	۰,۰۱۲	۰,۰۰۰	۰,۰۰۶	۰,۱۶۵	۰,۵۱۷	۰,۵۵۳	۰,۰۴۷	۰,۳۱۳	۰,۷۴۹	۰,۰۰۸	۰,۰۱۵	
O=F	-۰,۰۸۱	-۰,۰۸۵	-۰,۱۱۶	-۰,۰۷۲	-۰,۰۲۰	-۰,۰۳۵	-۰,۰۶۵	-۰,۱۴۱	-۰,۱۲۹	-۰,۱۶۵	-۰,۱۴۱	
O=Cl	-۰,۰۰۳	۰,۰۰۰	-۰,۰۰۱	-۰,۰۳۷	-۰,۱۱۷	-۰,۱۲۵	-۰,۰۱۱	-۰,۰۷۱	-۰,۱۶۹	-۰,۰۰۲	-۰,۰۰۳	
Total	۸۸,۶۱۶	۸۸,۰۰۰	۸۷,۹۹۱	۸۷,۷۷۱	۸۸,۰۲۲	۸۸,۱۸۹	۸۸,۱۴۸	۸۸,۰۹۳	۸۸,۲۲۲	۸۸,۳۶۶	۸۸,۰۸۷	
H ₂ O*	۳,۵۴۷	۳,۵۴۴	۳,۴۴۷	۳,۶۴۱	۳,۴۳۰	۳,۵۵۰	۳,۵۴۰	۳,۵۴۰	۳,۴۵۰	۳,۶۴۰	۳,۴۴۴	
B ₂ O ₃ *	۱۱,۰۰۱	۱۰,۹۹۴	۱۰,۷۱۱	۱۰,۵۸۲	۱۰,۶۷۰	۱۱,۰۰۰	۱۰,۹۹۰	۱۰,۹۹۰	۱۰,۷۱۰	۱۰,۵۸۰	۱۰,۶۷۳	
Li ₂ O*	۱,۴۵۰	۰,۵۸۶	۰,۲۶۷	۰,۰۸۲	۱,۰۶	۱,۴۵۰	۰,۵۹	۰,۵۹	۰,۲۷	۰,۰۸	۱,۰۵۵	
Si	۵,۹۰۵	۵,۸۸۲	۵,۸۷۱	۵,۹۴۲	۵,۷۱۴	۵,۷۷۶	۵,۸۳۶	۵,۹۲۲	۵,۹۲۱	۵,۹۳۶	۵,۹۱۵	
Ti	۰,۱۲۹	۰,۱۱۱	۰,۱۰۴	۰,۱۳۰	۰,۱۰۴	۰,۰۹۱	۰,۱۰۴	۰,۰۳۵	۰,۰۱۸	۰,۰۲۲	۰,۰۲۶	
V	۰,۰۰۴	۰,۰۰۰	۰,۰۰۴	۰,۰۰۴	۰,۰۰۴	۰,۰۰۰	۰,۰۰۲	۰,۰۰۶	۰,۰۰۱	۰,۰۰۲	۰,۰۰۰	
Al	۶,۶۰۷	۶,۶۸۷	۶,۷۱۹	۶,۴۹۵	۶,۹۹۶	۶,۹۵۲	۶,۸۳۹	۶,۸۲۴	۶,۹۰۷	۶,۸۳۶	۶,۸۶۳	
Fe	۱,۴۱۹	۱,۴۳۶	۱,۴۵۹	۱,۵۱۷	۱,۷۴۲	۱,۷۵۸	۱,۴۳۵	۱,۶۰۴	۱,۶۶۷	۱,۶۴۳	۱,۵۷۶	
Mn	۰,۰۱۰	۰,۰۰۷	۰,۰۱۰	۰,۰۱۱	۰,۰۱۷	۰,۰۱۸	۰,۰۰۹	۰,۰۱۲	۰,۰۱۶	۰,۰۱۵	۰,۰۱۰	
Mg	۰,۷۶۶	۰,۷۵۲	۰,۷۰۹	۰,۷۷۹	۰,۳۳۹	۰,۳۲۲	۰,۶۲۴	۰,۵۲۸	۰,۴۵۸	۰,۴۶۶	۰,۵۲۳	
Zn	۰,۰۰۴	۰,۰۰۲	۰,۰۰۶	۰,۰۰۰	۰,۰۱۰	۰,۰۰۵	۰,۰۱۱	۰,۰۱۰	۰,۰۰۹	۰,۰۱۰	۰,۰۱۰	
Ca	۰,۰۶۷	۰,۰۶۶	۰,۰۶۶	۰,۰۷۰	۰,۰۶۴	۰,۰۵۷	۰,۰۷۴	۰,۰۳۵	۰,۰۲۷	۰,۰۲۸	۰,۰۲۹	
Na	۰,۵۸۶	۰,۵۵۹	۰,۵۶۶	۰,۵۷۶	۰,۵۳۶	۰,۵۴۳	۰,۴۹۸	۰,۵۱۴	۰,۵۲۴	۰,۵۲۴	۰,۵۱۷	
K	۰,۰۰۶	۰,۰۰۷	۰,۰۰۸	۰,۰۱۱	۰,۰۰۸	۰,۰۰۹	۰,۰۰۷	۰,۰۰۷	۰,۰۰۷	۰,۰۰۷	۰,۰۰۹	
F	۰,۰۹۸	۰,۱۰۴	۰,۱۴۲	۰,۰۸۹	۰,۰۲۵	۰,۰۴۴	۰,۰۷۹	۰,۱۷۴	۰,۱۶۰	۰,۲۰۲	۰,۱۷۳	
Cl	۰,۰۰۳	۰,۰۰۰	۰,۰۰۲	۰,۰۰۴	۰,۱۴۵	۰,۱۵۵	۰,۰۱۳	۰,۰۸۷	۰,۲۱۰	۰,۰۰۲	۰,۰۰۴	
Sum	۱۵,۵۰۳	۱۵,۵۰۲	۱۵,۵۱۹	۱۵,۵۳۶	۱۵,۵۴۳	۱۵,۵۲۲	۱۵,۴۳۷	۱۵,۵۰۷	۱۵,۵۵۷	۱۵,۴۸۹	۱۵,۴۷۸	
Mg*	۰,۳۵۱	۰,۳۴۴	۰,۳۲۷	۰,۳۳۹	۰,۱۶۳	۰,۱۵۵	۰,۳۰۳	۰,۲۴۸	۰,۲۱۶	۰,۲۲۱	۰,۲۴۹	
Xsite	۰,۶۵۹	۰,۶۳۲	۰,۵۳۹	۰,۶۵۷	۰,۶۰۸	۰,۶۰۹	۰,۵۷۹	۰,۵۰۶	۰,۵۵۹	۰,۵۵۹	۰,۵۵۵	
Xvac	۰,۳۴۱	۰,۳۶۸	۰,۳۶۱	۰,۳۴۲	۰,۳۹۲	۰,۳۹۱	۰,۴۲۱	۰,۴۴۱	۰,۴۴۱	۰,۴۴۱	۰,۴۴۵	
Na+K	۰,۵۹۲	۰,۵۶۶	۰,۵۷۳	۰,۵۸۷	۰,۵۴۴	۰,۵۵۲	۰,۵۰۵	۰,۵۲۱	۰,۵۳۲	۰,۵۳۱	۰,۵۲۶	
Xvac+Na	۰,۹۲۷	۰,۹۲۷	۰,۹۲۷	۰,۹۱۹	۰,۹۲۸	۰,۹۳۴	۰,۹۱۹	۰,۹۵۸	۰,۹۶۵	۰,۹۶۵	۰,۹۶۲	
Xvac,Xvac+Na	۰,۳۶۸	۰,۳۹۷	۰,۳۹۰	۰,۳۷۳	۰,۴۲۳	۰,۴۱۸	۰,۴۵۸	۰,۴۶۳	۰,۴۵۷	۰,۴۵۷	۰,۴۶۳	
Mg/Mg+Fe	۰,۳۵۱	۰,۳۴۴	۰,۳۲۷	۰,۳۳۹	۰,۱۶۳	۰,۱۵۵	۰,۳۰۳	۰,۲۴۸	۰,۲۱۶	۰,۲۲۱	۰,۲۴۹	
R2	۰,۶۸۶	۰,۷۱۱	۰,۷۲۸	۰,۶۱۰	۰,۸۴۸	۰,۸۴۹	۰,۸۱۳	۰,۸۰۳	۰,۸۵۲	۰,۸۰۱	۰,۸۱۳	
R2*	۲,۸۷۹	۲,۹۰۴	۲,۹۰۶	۲,۹۱۷	۲,۹۴۶	۲,۹۴۸	۲,۸۸۰	۲,۹۴۷	۲,۹۹۴	۲,۹۲۵	۲,۹۲۳	

سیرجان محسوب می‌شود و علی‌رغم زمین‌ساختی شدیدی که پیچیدگی‌هایی در زمین‌شناسی منطقه به وجود آورده است، می‌توان ردیفی از سنگ‌ها را تشخیص داد به طوری که قدیمی‌ترین نهشته‌های موجود در این منطقه به ترتیب واسطه بوده که شامل متاولکانیک‌ها با درون لایه‌هایی از مرمره‌ای نازک تا ضخیم‌اند و جدیدترین نهشته‌های آن‌ها، آبرفت‌های

زمین‌شناسی عمومی منطقه‌ی مورد بررسی در استان‌های لرستان و مرکزی، در شرق و جنوب‌شرقی شهرستان بروجرد و جنوب غربی شهرستان اراک بین طول‌های جغرافیایی $۴۸^{\circ}۴۵'$ تا $۴۹^{\circ}۳۰'$ شرقی وعرض‌های جغرافیایی $۳۸^{\circ}۳۰'$ تا $۳۴^{\circ}۳۰'$ شمالی قرار گرفته است (شکل ۱). این منطقه از نظر زمین‌شناسی بخشی از زون سندنج-

مجاورتی (با شیستهای لکه‌دار شروع، و به هورنفلس‌ها و میگماتیتها ختم می‌شود) ([۹، ۱۰، ۱۱]. شکل ۱). همچنین [۱۰] معتقدند که اولین فعالیت نفوذی پس از دگرگونی ناحیه‌ای و طی حرکت‌های زمین‌ساختی اولیه آلب در زمان کرتاسه زیرین (حدود ۱۲۰ Ma) رخ داده است که به واحدهای گرانودیوریتی (گرانیت‌های قدیمی [۱۱، ۱۰]) و پگماتیت‌های موجود در هاله دگرگونی (پگماتیت‌های قدیمی [۱۱، ۱۰]) وابسته‌اند.

عهد حاضر است [۶]. بالاترین بخش از ردیف دگرگونی را سنگ‌های پلیتی دگرگون شده موسوم به فیلیت‌های همدان تشکیل می‌دهند که به صورت دگرگونی ناحیه‌ای در حد رخساره شیست‌سبز (زون کلریت) درآمده و بیشتر شامل U-As‌لیت و فیلیت می‌شوند [۷]. بر اساس تعیین سن به روش U-Pb روی زیرکن واحدهای مختلف گرانیتوئیدی، مهمترین رویداد زمین‌شناسی که در این ناحیه رخ داده است پیدایش توده‌های گرانیتوئیدی بروجرد و آستانه در زمان ژوراسیک میانی است که درون این فیلیت‌ها نفوذ کرده‌اند و دگرگونی میانی است که درون این فیلیت‌ها نفوذ کرده‌اند و دگرگونی میانی است که درون این فیلیت‌ها نفوذ کرده‌اند و دگرگونی



شکل ۱ نقشه‌ی زمین‌شناسی منطقه‌ی مورد بررسی [۸].

کوارتز، پلازیوکلاز با ماکل تکراری، میکرولیین با ماکل مشبك، تورمالین (به حالت همرشدی با کوارتز)، ارتوزهای پرتیتی، مسکویت و گارنت با بافت دیده می‌شوند.

در شرق رستای کله‌جوب، پگماتیت‌هایی در درون شیستها بروند دارند که حاوی انواع تورمالین و مسکویت‌های دانه‌های بسیار درشت هستند (شکل ۲ ت). در این منطقه اندازه‌ی تورمالین‌ها به ۱۰ تا ۱۵ سانتی‌متر می‌رسد. این سنگ-ها دارای روند شمال‌غربی- جنوب‌شرقی بوده و در حوالی رستاهای کهربیز و کله‌جوب به خوبی دیده می‌شوند (شکل ۲ ت). در نمونه‌ی دستی، مسکویت‌های درشت، تورمالین و کوارتز قابل تشخیص‌اند. این سنگ‌ها دارای تورمالین‌های سوزنی و بیشتر به رنگ آبی هستند. این تورمالین‌ها خود شکل و به صورت تیغه‌های منفرد کرده و رشد افشاره‌ای دارند.

در جنوب شرقی رستای نظام آباد، رگه‌های کوارتز - تورمالین در درون کوارتزدیوریت‌ها مشاهده می‌شوند که گاه حاوی ۱۰۰ درصد تورمالین‌اند (شکل ۲ ث). این سنگ‌ها حاوی کانی‌های تورمالین (با چند رنگی آبی کمرنگ و ساخت منطقه‌ای)، کوارتز، مسکویت، پلازیوکلاز با ماکل تکراری، پرتیت و اپیدوت با بافت پگماتیتی است.

در جنوب شهر آستانه، مونزوگرانیت‌های تورمالین داری وجود دارند که تورمالین در این گرانیت‌ها همراه با کوارتز به صورت گرهک دیده می‌شود (شکل ۲ ج). این گرهک‌ها در نمونه‌ی دستی دارای دو ترکیب مرکزی تیره و حاشیه‌ی روشن‌اند [۱۳]. این تغییر رنگ در نتیجه‌ی تبادلهای یونی بین مرکز و حاشیه گرهک‌های تورمالین به وجود آمده است، و در نتیجه منجر به پایداری بیشتر مرکز گرهک نسبت به حاشیه آن می‌شود. در مقاطع نازک، هسته‌ی این تورمالین با رنگ قهوه‌ای مایل به سبز با حاشیه آبی دیده می‌شود. در بخش روشن، یا بیوپتیت وجود ندارد یا اندک است. فلدسپات پتاسیم و پلازیوکلاز سریسیتی شده از کانی‌های غالب این حاشیه است. شکل گرهک‌ها متفاوت است ولی متداول‌ترین آنها کروی یا بیضیواری است. یکی از اشکال ظاهری گرهک‌ها قرارگیری آنها در یک مسیر مستقیم و شبیه دانه‌های تسبیح است (شکل ۲ ج). قطر گرهک‌ها از ۲۰ میلی‌متر در هسته‌ی تیره تا حدود ۴۰ میلی‌متر در بخش روشن تغییر می‌کند (شکل ۲ ج).

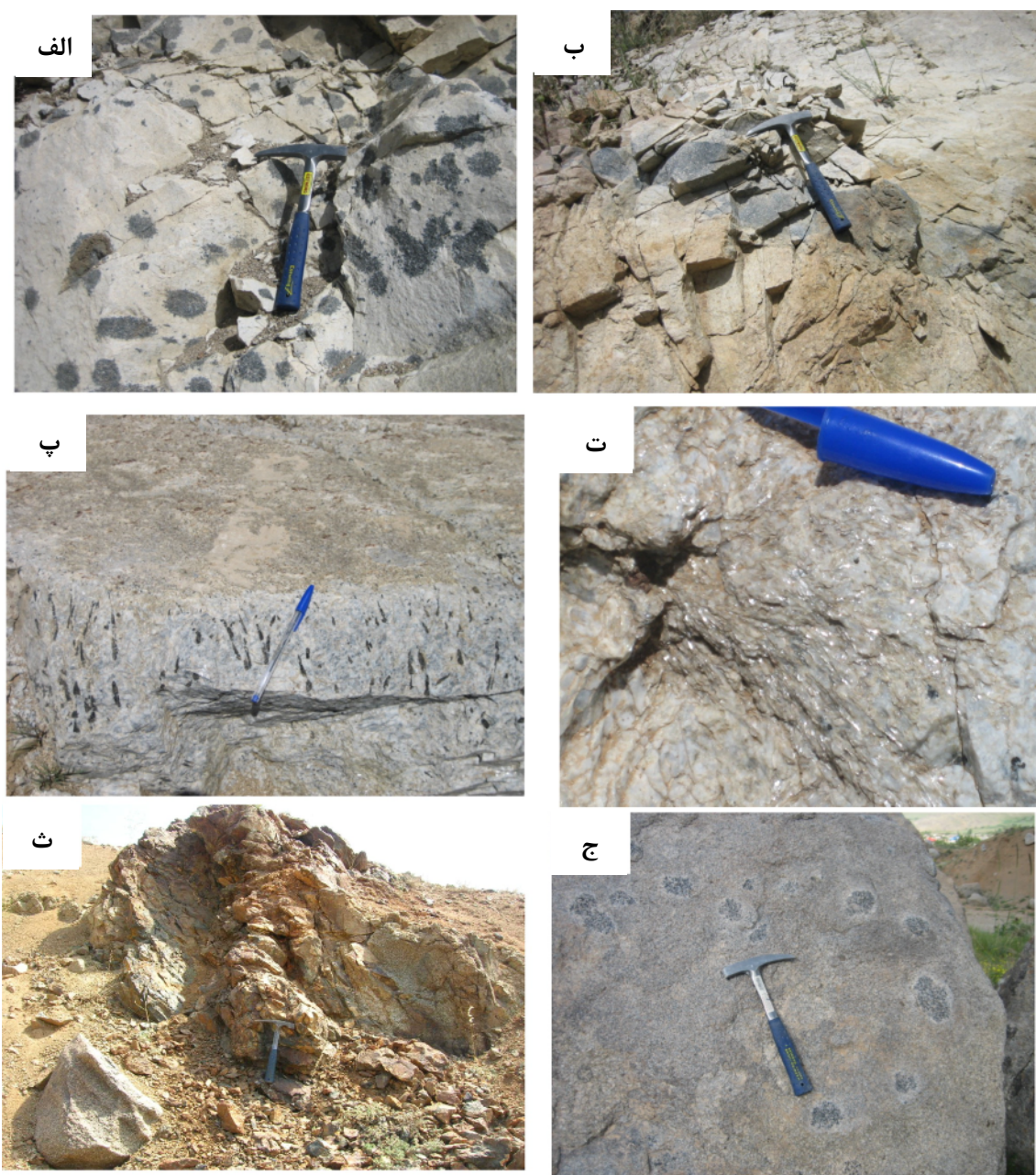
ویژگی‌های صحرایی و پتروگرافی واحدهای تورمالین دار روابط صحرایی بین مجموعه‌های سنگ‌شناسی موجود در منطقه (مجموعه‌های گرانیتی و دگرگونه‌ها)، ارتباط رگه‌های آپلیتی و پگماتیتی با این مجموعه‌ها و نیز ارتباط رگه‌های کوارتز- تورمالینی با سنگ میزبان کوارتزدیوریتی مورد بررسی قرار گرفته‌اند. بررسی‌های صحرایی انجام گرفته بیانگر این است که در بخش‌های مختلف منطقه، کوارتزدیوریت‌ها، گرانودیوریت‌ها، مونزوگرانیت‌ها و شیستها، میزبان واحدهای تورمالین دار هستند. واحدهای تورمالین دار موجود در منطقه مورد بررسی عبارتند از:

در جنوب شرقی بروجرد در حوالی رستای دهگام، رگه‌های آپلیتی - پگماتیتی تورمالین‌دار در سنگ‌های گرانودیوریتی بروند دارند که تورمالین در آن‌ها به صورت لکه‌ها یا گرهک‌ها دیده می‌شود (شکل ۲ الف). به عقیده‌ی [۱۲] این گرهک‌ها غالباً بهوسیله‌ی رگچه‌های نازک تغذیه می‌شوند و حاصل آن یک فاز غنی از بر (B) در فازهای پایانی است. در این سنگ‌ها، تورمالین به صورت لکه‌های قهوه‌ای و آبی با پلی کروئیسم معکوس دیده می‌شود (در بخش میانی آبی و در حاشیه قهوه‌ای) و بخش اعظم سنگ کوارتز است. پلازیوکلاز با لکه‌های چند ترکیبی، میکرولیین و پرتیت‌های بسیار درشت دیده می‌شود.

در جنوب شرقی رستای گیجالی پایین، رگه‌های پگماتیتی در درون گرانودیوریت‌ها بروند دارند که حاوی تورمالین‌اند (شکل ۲ ب). در این رگه‌ها، تورمالین با رنگ سبز - آبی با پلی کروئیسم مشخص آبی همراه پلازیوکلاز، مسکویت و کوارتز دیده می‌شوند.

در جنوب‌غربی رستای کبوترلان در کنار جاده‌ی بروجرد - اراک رگه‌های آپلیتی - پگماتیتی تورمالین‌دار در سنگ‌های گرانودیوریتی بروند دارند که حاوی تورمالین‌های بسیار ریزنده. این رگه‌ها حاوی تورمالین (به صورت آبی و قهوه‌ای) که تورمالین آبی در وسط و قهوه‌ای در حاشیه‌ها) قرار دارند، اسفن، کلریت و پلازیوکلاز با بافت آپلیتی هستند.

در غرب رستای قلعه ثمورخان در مسیر جاده‌ی بروجرد - اراک، رگه‌های پگماتیتی تورمالین‌دار در درون گرانودیوریت‌ها دیده می‌شوند (شکل ۲ پ). کانی‌های این سنگ‌ها شامل



شکل ۲ تصاویر صحرایی واحدهای تورمالین دار، الف: گرهک های آپلیتی - پگماتیتی موجود در گرانودیوریت های دهگاه، ب: رگه های آپلیتی - پگماتیتی تورمالین دار در گرانودیوریت های روستای گیجالی، پ: تورمالین های سوزنی در رگه های پگماتیتی موجود در گرانودیوریت های روستای قلعه ثمورخان، ت: پگماتیت های تورمالین دار در شیست های روستای کله جوب، ث: رگه های کوارتز - تورمالین در گوارتزدیوریت های تورمالین دار در منطقه نظام آباد، ج: گرهک های تورمالین دار در منطقه نظام آباد.

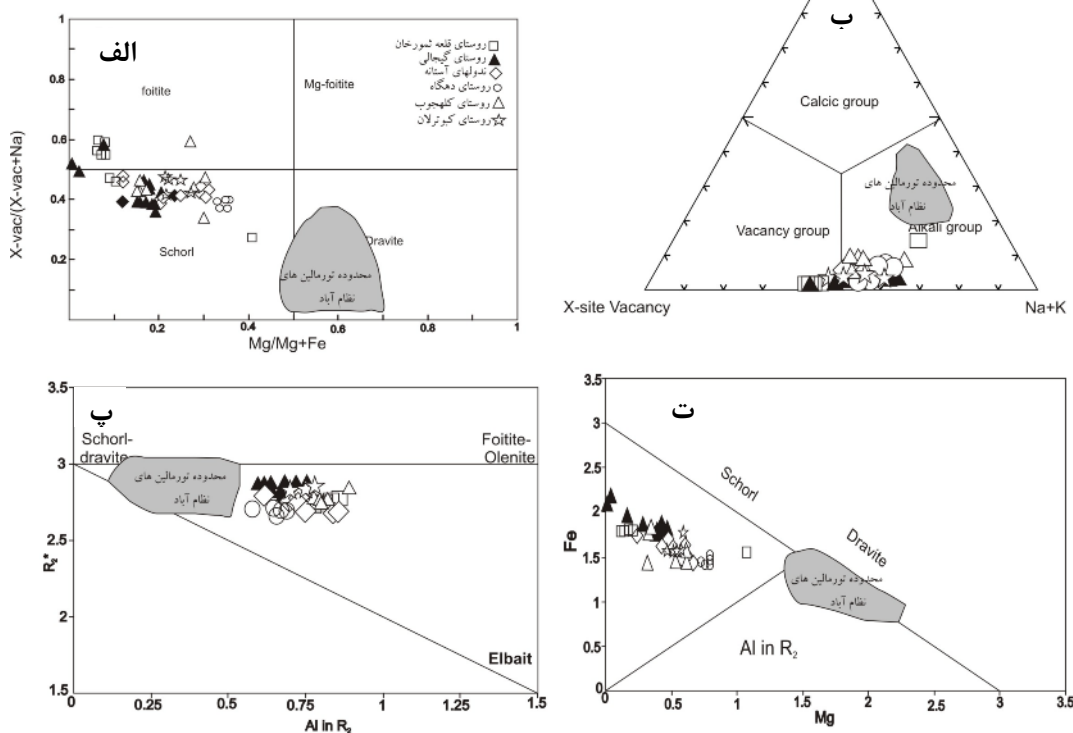
شورلیت قرار گرفته اند. همچنین بنابراین نمودار، گرهک های تورمالین دار دهگاه و به میزان کمتری گرهک های آستانه دارای میزان بیشتری از $Mg/Mg + Fe$ هستند و نمونه های قلعه هی ثمورخان و تعدادی از نمونه های روستای گیجالی معمولاً دارای میزان کمتری از نسبت فوق بوده و به قطب فوئیتیت وابسته اند. در حالی که نمونه های نظام آباد در گستره هی شورلیت -

شیمی کانی تورمالین در منطقه هی مورد بررسی برای بررسی تغییرات ترکیبی در نسبت های Ca, Na, Mg, Fe در نسبت های X - vac / X - vac + Na و تشخیص نوع تورمالین ها از نمودار های دوتایی استفاده $Mg/Mg + Fe$ نسبت به گستره هی بین شورل - فوئیتیت با تمرکز بیشتر در منطقه هی گستره هی بین شورل - فوئیتیت با تمرکز بیشتر در منطقه هی

در نمودار R_2^* نسبت به $Al \text{ in } R_2$ (شکل ۳ پ)، کلیه نمونه‌های آنالیز شده نشان می‌دهند که جایگاه Y آنها به طور کامل پر نشده است. کمبود در این جایگاه را تا حدودی می‌توان با جانشینی البائیت (جانشینی لیتیم) توجیه کرد یعنی عملکرد این جانشینی باعث می‌شود که Al , Li جایگزین مقداری از Mg , Fe موجود در موقعیت Y شود [۱۵]. در نمودار Fe نسبت به Mg [۱۵] ترکیب شورلیت-دراویت روی خط $\sum(Fe + Mg) = 3$ قرار می‌گیرد (شکل ۳) و همه نمونه‌هایی که زیر این خط قرار دارند به صورت جانشینی Al در موقعیت Y در می‌آیند. چنان‌که از نمودار پیداست هرچه $\sum(Fe + Mg) < 3$ کمتر باشد، میزان جانشینی Al در موقعیت Y بیشتر می‌شود. آنچه از این نمودار بر می‌آید این است که تمامی نمونه‌ها (بجز نمونه‌های نظام آباد) در گسترهٔ با کمتر از میزان Fe , یعنی شورلیت است.

دراویت با تمایل بیشتر به سمت دراویت قرار می‌گیرند، و با توجه به تمایل نمونه‌ها به سمت قطب دراویت در مقایسه با شورلیت می‌توان نتیجه‌گیری کرد که میزان Mg آنها از Fe بیشتر است.

براساس مقادیر (Ca, Na, K) تورمالین‌ها وجود یا عدم وجود فضای خالی در موقعیت X، تورمالین‌ها را به سه دسته تورمالین‌های کلسیک، قلیائی و انواعی که موقعیت X آنها خالی است تقسیم می‌کنند ([۱۴]، شکل ۳ ب). بر اساس این ردبهندی، بیشتر تورمالین‌های آنالیز شده به انواع قلیائی و وابسته‌اند و فقط تعدادی از نمونه‌های روستای گیجالی و روستای قلعهٔ شورخان به موقعیت X خالی تعلق دارند که این مسئلهٔ پایین بودن مقادیر K, Na موجود در جایگاه X در مقایسه با مقدار Ca است.



شکل ۳ در نمودار (الف) ترکیب تورمالین‌های مورد بررسی در گسترهٔ شورلیت - فوئیتیت قرار می‌گیرند، در نمودار (ب) بیشتر تورمالین‌های منطقهٔ مورد بررسی به انواع قلیائی تعلق دارند و فقط تعدادی از نمونه‌های روستای گیجالی و روستای قلعهٔ شورخان در منطقهٔ به موقعیت X خالی تعلق دارند. (پ) در نمودار $R2^* = Fe + Mg + Mn + Al$, $R2 = Al + 1.33Ti + Si - 12$ $Al \text{ in } R2$ نسبت به $Al \text{ in } R_2$ در نمودار Fe نسبت به Mg نمونه‌ها در زیر خط $\sum(Fe + Mg) = 3$ و آنالیز شده نشان می‌دهند که جایگاه Y آنها به طور کامل پر نشده است. (ت) در نمودار FeO نسبت به Mg نمونه‌ها در گسترهٔ با کمتر از میزان Fe , یعنی شورلیت قرار می‌گیرند. برای مقایسه، از داده‌های تورمالین‌های نظام آباد [۲۲] استفاده شد.

قلعه ثمورخان بیشترین میزان $\text{Fe}/\text{Fe} + \text{Mg}$ و کمترین مقدار Mg را دارد.

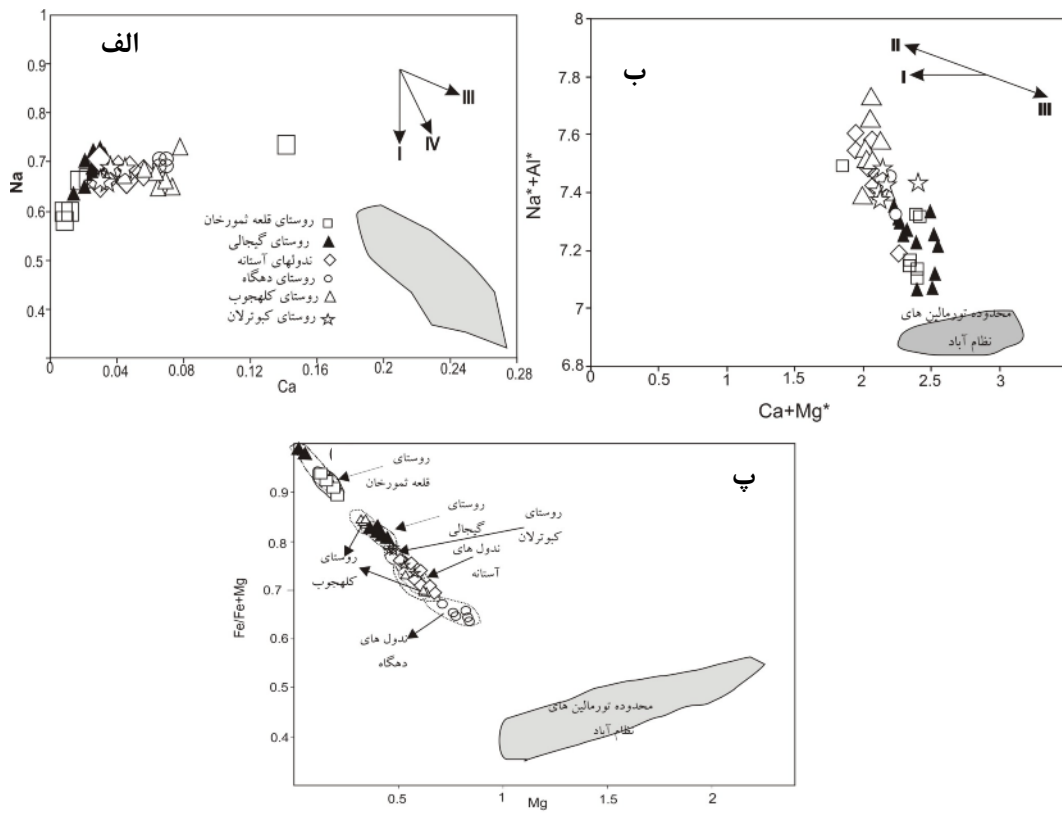
بحث و بررسی

بنابر عقیده‌ی [۱۷] تورمالین‌های ماقمایی خود شکل و بدون منطقه‌بندی در شرایطی مانند پرآلومین بودن ($\text{A/CNK} > 1$), $\text{PH} < 6.5$ و $\text{B}_2\text{O}_3 = 2\text{wt \%}$ وجود اسیدی آن تورمالین‌ها در گرانیت حاکی از غنی بودن ماقمایی اولیه آن گرانیت از B است.

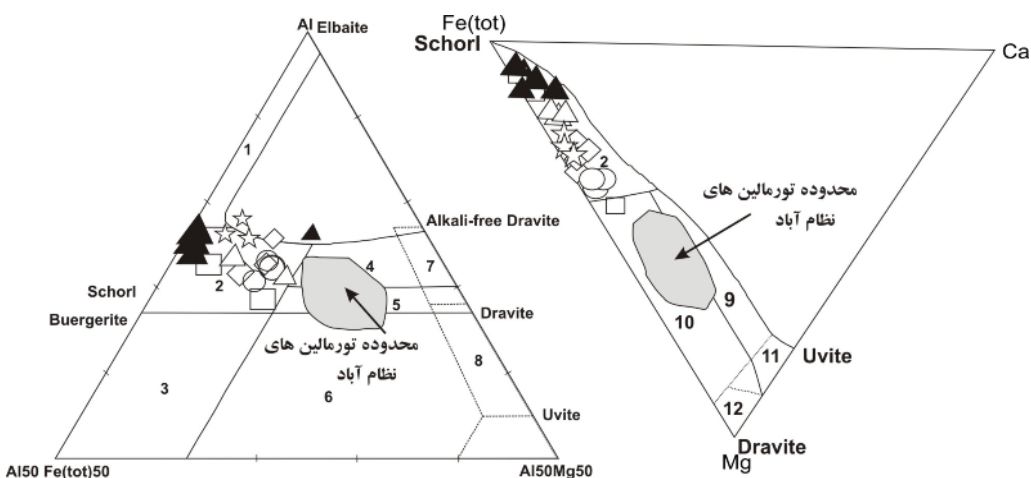
از طرف دیگر به عقیده‌ی [۱۸] تورمالین‌های ماقمایی در مقایسه با تورمالین‌های گرمایی دارای مقدار Al بالاتر و کاستی بیشتر در موقعیت X هستند. با توجه به شکل (۳ پ و ۴ ب) همه‌ی تورمالین‌ها که به سمت Al بالا و کاهش در جایگاه X گرایش دارند خاستگاه ماقمایی دارند و شرایط تشکیل بقیه نمونه‌ها به خاستگاه گرمایی نزدیک‌تر است. همچنین تورمالین‌های ماقمایی در مقایسه با تورمالین‌های گرمایی عدد

بر اساس نمودار Ca نسبت به Na (شکل ۴ الف) کلیه تورمالین‌های آنالیز شده دارای $\text{Ca} / \text{Na} < 0.2$ هستند که نشانه مقدار ناچیز اویت در ساختار این کانی است. مقادیر زیاد Al در موقعیت Y به علت جانشینی‌های OH^- و AlO_4^- است [۱۶]. همچنین پراکندگی داده‌های تورمالین در این نمودار نشان می‌دهد که جانشینی‌هایی مانند AlNa_3Mg_2 مهم‌اند و بیانگر تشکیل فضاهای خالی در موقعیت X است [۱۷]. رسم نمونه‌ها در نمودار $\text{Ca} + \text{Mg}^*$ (شکل ۴ ب) یک برآش خطی وارون را نشان می‌دهد که نشان دهنده‌ی درجه‌ی کم جانشینی اویت است.

برای نمایش غنی‌شدگی تورمالین‌ها از Mg از نمودار ۵ پ استفاده شد. بنابر این نمودار، تورمالین‌های نظام آباد و گرهک‌های تورمالین‌دار جنوب دهگاه به ترتیب بیشترین غنی‌شدگی از منیزیم Mg و کمترین میزان $\text{Fe}/\text{Fe} + \text{M}$ دارند. در حالی که نمونه‌های رگه‌های آبادی و پگماتیتی گیجالی و



شکل ۴ الف: ترسیم نمونه‌ها در نمودار Ca نسبت به Na . ب: همبستگی وارون Mg^* نسبت به Na . $\text{B} = 2\text{Li} - \text{Ti}$, $\text{Na}^* = \text{Na} + \text{K}$, $\text{Al}^* = \text{Al} + \text{Fe}^{3+} + 2\text{Ti-LiC}$ در نمودار Mg^* نشان دهنده‌ی بالاتر بودن میزان منیزیم در تورمالین‌های دهگاه و بالاتر بودن میزان $\text{Fe}/\text{Fe} + \text{Mg}$ در نمودار Mg^* در نمونه‌های رگه‌های روستای کبتوتران و گیجالی است.



شکل ۵ نمایش تورمالین های منطقه‌ی مورد بررسی روی نمودارهای سه تابی $\text{Ca}-\text{Fe}-\text{Mg}$ و $\text{Al}-\text{Fe}-\text{Mg}$. ۱: گرانیتوئیدهای غنی از لیتیم، پگماتیت‌ها و آپلیت‌ها وابسته به آنها ۲: گرانیتوئیدهای فقیر از لیتیم، پگماتیت‌ها و آپلیت‌ها و متاباماتیت‌ها و آپلیت‌ها و متاپاسامیت‌های همزیست با یک فاز اشباع از Fe^{3+} ۴: متابالیت‌ها و متاپاسامیت‌های همزیست با یک فاز اشباع از آلومینیم ۵: متابالیت‌ها و متاپاسامیت‌های ناهزمیست با یک فاز اشباع از آلومینیم ۶: سنگ‌های سیلیکات آهکی، متابالیت‌ها و سنگ‌های کوارتز-تورمالین سرشار از Fe^{3+} ۷: اولترامافیک‌های دگرگون شده با کلسیم پایین و شبه سدیمنت‌های غنی از وانادیم و کروم ۸: شبه کربنات‌ها و شبه پیروکسینیت‌ها ۹: سنگ‌های سیلیکاتی آهکی، متاباسامیت‌ها و متابالیت‌های غنی از Ca ۱۰: سنگ‌های کوارتز-تورمالین، متاباسامیت‌ها و متابالیت‌های دگرگون شده. علائم مشابه شکل ۳ هستند.

شده‌اند. احتمالاً این رگه‌ها پس از نفوذ توده‌ی اصلی گرانیتی در اثر نفوذ دوباره‌ی ماقما و تزریق آن در توده‌ی اصلی به وجود آمده‌اند. گرهک‌های تورمالین در میکروگرانیت‌های لوکوکرات، با اینکه از جمله تورمالین‌های درون گرانیتی به حساب می‌آیند و باید در ناحیه‌ی گرانیتوئیدها قرار گیرند، به دلیل تشکیل در یک شرایط حد وسط، مقدار Mg آنها بیشتر از مقداری است که برای تورمالین‌های ماقمایی انتظار می‌رود، و برخی از آنها مانند نمونه‌های نظام آباد در ناحیه‌ی متابالیت‌ها قرار می‌گیرند. تورمالین‌های رگه‌ای به دلیل منطقه‌بندی در مقیاس کوچک، پائین بودن $\text{Fe}/\text{Fe} + \text{Mg}$ و کاستی کمتر در جایگاه X در شرایط گرمابی (ماقمایی تاخیری) به وجود آمده‌اند. به اعتقاد [۹] همبافت گرانیتوئیدی بروجرد (به جزء واحد کوارتزدیبوریت آن) از لحاظ شیمیایی پرآلومین است، لذا می‌تواند مقدار Al لازم برای تشکیل تورمالین در درون خود توده و رگه‌های آپلیتی-پگماتیتی را برآورده سازد. همچنین با توجه به وجود تورمالین‌های اولیه به این نتیجه می‌رسیم که این توده‌ی گرانیتوئیدی مقدار B لازم برای تشکیل تورمالین در درون توده و در رگه‌ها را نیز داراست و با توجه به مقدار $\text{Fe} + \text{Mg} > 10$ در این توده، می‌توان گفت که مقدار کافی

آهن $\text{Fe}/\text{Fe} + \text{Mg}$ بالاتری دارد. بنابراین تورمالین‌های نظام آباد، گرهکی روستای دهگاه و آستانه که عدد آهن پائین‌تر و Mg بالاتر دارند، تورمالین‌های گرمابی هستند در حالی که تورمالین‌های پگماتیتی-آپلیتی و تورمالین‌های درون گرانودیبوریت‌های دیگر ماقمایی هستند. از طرف دیگر بالا بودن Fe^{2+} به Mg در تورمالین از نشانه‌های تشکیل آن به وسیله گدازه‌های ماقمایی است [۱۹]. بنابراین می‌توان به این نتیجه رسید که کلیه تورمالین‌های گرانودیبوریت‌ها و نمونه‌های پگماتیتی-آپلیتی به جز تورمالین‌های نظام آباد و گرهکی روستای دهگاه و منطقه آستانه، ماقمایی هستند.

بر اساس نمودار Ca-Fe(tot)-Mg نیز ترکیب تورمالین‌های منطقه به ترکیب شورلیت نزدیک‌تر بوده و غنی از آهن‌اند (شکل ۵). به علاوه ترکیب این تورمالین‌ها در هر دو مثلث در ناحیه‌ی گرانیتوئیدهای فقیر از Li و پگماتیت‌های وابسته به آن قرار می‌گیرند.

به اعتقاد [۲۰] هرچه از شرایط ماقمایی به شرایط گرمابی نزدیک‌تر می‌شویم تورمالین در مقدار خیلی پائین‌تر B و طیف کستردۀ‌تری از ترکیب‌ها نسبت به شرایط ماقمایی به وجود می‌آید. تورمالین‌های رگه‌های پگماتیتی به دلیل قرارگیری در ناحیه‌ی گرانیتوئیدها، احتمالاً به طریق ماقمایی تشکیل

فاصله‌ی رگه‌های تورمالین‌دار در منطقه‌ی مورد بررسی از توده‌ی گرانیتی بروجرد کمتر از ۱ کیلومتر بوده است. بنابراین تاثیر واحدهای دگرگونی در تشکیل تورمالین‌های منطقه با توجه به مقدار $\text{Fe}^{\#}$ آنها و نیز قرار گرفتن آنها در گستره‌ی ترکیبی گرانیتوئیدهای فقیر از لیتیم، پگماتیت‌ها و آپلیت‌های واپسنه به آن (شکل ۶) بی‌تأثیر است. قرار گیری کلیه نمونه‌های آنالیز شده اعم از رگه‌های تورمالین‌دار گیجالی، گرهک‌های آستانه و دهگاه و روستای قلعه شمورخان در منطقه‌ی A شکل ۶ حاکی از بالا بودن مقدار $\text{Fe}^{\#}$ در این مناطق، نزدیک بودن با خاستگاه تغذیه کننده‌ی شاره و فاصله‌ی کمتر از ۱ کیلومتر با توده نفوذی را نشان می‌دهد.

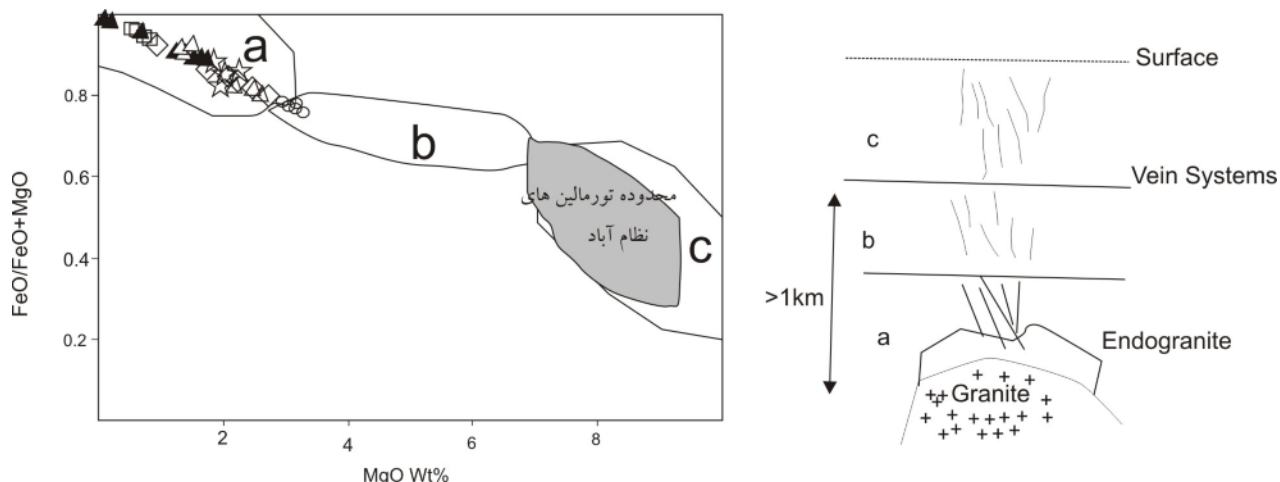
برداشت

از بررسی واحدهای مختلف تورمالین‌دار مناطق بروجرد و آستانه نتایج زیر حاصل شده‌اند:

- بر اساس نمودارهای مختلف، نوع تورمالین در تورمالین‌های سوزنی قلعه شمورخان و برخی از نمونه‌های گیجالی و کله‌جوب از نوع فوئیتیت و در رخنمونه‌ای دیگر منطقه از نوع شورلیت است و تورمالین‌های منطقه‌ی نظام آباد محلول جامدی از شورلیت و دراویت با تمایل بیشتر به سمت دراویت هستند که پدیده‌ی منطقه‌بندی بسیار روشن و چشمگیر در تورمالین‌های این منطقه، آنرا تایید می‌کند.

Mg, Fe خاستگاه تورمالین نیز وجود دارند، در نتیجه باید Mg, Fe, Al, B مورد نیاز برای تشکیل تورمالین را یک خاستگاه درون توده در نظر بگیریم. چنانچه نسبت $\text{FeO}^* = \text{FeO}/\text{FeO} + \text{MgO}$ در تورمالین بیشتر از ۰,۸ باشد نشانگر بسته بودن سیستم ماقمایی، عدم دخلات شاره‌ها و آلایش آنها با رسوب‌های غنی از Al است اما اگر این نسبت کمتر از ۰,۶ باشد دلالت بر دگرنهادی بور با رسوب‌های غنی از Al، و بور از یک خاستگاه خارجی است [۲۱]. در صورتی که این نسبت در تورمالین‌های واحدهای مختلف (گیجالی، دهگاه، قلعه شمورخان، کبوترلان، نظام آباد و گرهک‌های آستانه) بیش از ۰,۸ است که دلالت بر ریشه گرفتن بور از شاره‌های ماقمایی مراحل تأخیری دارد، که در تورمالین‌های نظام آباد خاستگاه گرمابی و در مناطق دیگر از نوع ماقمایی است.

به اعتقاد [۲۱] مقدار $\text{Fe}^{\#} = \text{FeO}^*/(\text{FeO}^* + \text{MgO})$ تورمالین با فاصله گرفتن از گرماب توده‌ی گرانیتی کوچکتر می‌شود به طوری که این نسبت برای ذخایر درون گرانیتی که چسبیده به توده‌ی گرانیتی هستند بین ۰,۸ تا ۱ و برای سیستم‌های رگه‌ای که در فاصله‌ی مساوی یا بیشتر از ۱ کیلومتر، کمتر از ۰,۶ است. با توجه به مقدار $\text{Fe}^{\#}$ نمونه‌های مختلف بروجرد که کمتر از ۰,۸ تا ۰,۵ تغییر می‌کند و قرار گرفتن آنها در گستره‌ی A (شکل ۶) می‌توان نتیجه گرفت که



شکل ۶ نمودار $\text{Fe}^{\#}$ نسبت به MgO که میدان تورمالین‌های درون گرانیتی (a)، نزدیک به توده‌ی گرانیتی تا حد واسطه (b) و تورمالین‌های دور از توده‌ی گرانیتی (c) در آن مشخص شده است [۲۱]. در این نمودار نمونه‌های گرهکی روستای دهگاه، آستانه و مناطق دیگر آنالیز شده در گستره‌ی a قرار گرفته‌اند در حالی که تمامی نمونه‌های منطقه‌ی نظام آباد تقریباً در بخش c قرار می‌گیرند. علائم مشابه شکل ۳ هستند.

- [3] Maning D. A. C., "Chemical and morphological variation in tourmalines from the Hub Kapong batholith of peninsular Tailand", *Mineralogical Magazine* 45 (1982) 139-147.
- [4] London D., Maning D. A. C., "Chemical variation and significance of tourmaline from SW England", *Economic Geology* 90 (1995) 495-519.
- [5] Krynn P.D., "The tourmaline group in sediments", *Journal of Geology* 54 (1946) 65-87.
- [۶] رادرف ج، "بررسی‌های زمین‌شناسی و پترولوبزی سنگ‌های گرانیت‌وئیدی ناحیه آستانه-گوشه"، پایان‌نامه کارشناسی ارشد، دانشکده علوم، دانشگاه تهران (۱۳۶۶).
- [۷] احمدی خلجی ا، "بررسی پترولوبزی و پروفابریک توده‌های نفوذی و دگرگونی مجاورتی منطقه بروجرد"، پایان‌نامه کارشناسی ارشد، دانشکده علوم، دانشگاه تهران (۱۳۷۸).
- [۸] احمدی خلجی ا، "پترولوبزی توده‌ی گرانیت‌وئیدی بروجرد، رساله دکتری، دانشکده علوم، دانشگاه تهران (۱۳۸۵).
- [9] Ahmadi-Khalaji A., Esmaeily D., Valizadeh M.V., Rahimpour-Bonab H., "Petrology and Geochemistry of the Granitoid Complex of Boroujerd, Sanandaj-Sirjan Zone, Western Iran", *Journal of Asian earth Sciences* 29 (2007) 859-877.
- [10] Masoudi F., "Contact metamorphism and pegmatite development in the region SW of Arak, Iran", PhD Thesis, Leeds University, UK, (1997).
- [11] Masoudi F., Yardley B.W.D., Cliff R.A., "Rb-Sr geochronology of pegmatites, plutonic rocks and a hornfels in the region southwest of Arak, Iran", *Islamic Republic of Iran Journal of Sciences* 13 (3) (2002) 249-254.
- [12] Didier J., Barbarin B., "Enclaves and granite petrology", Elsevier (1991), 601 p.
- [۱۳] طهماسبی ز، احمدی خلجی ا، رجاییه م، "تورمالین زائی در توده گرانیت‌وئیدی آستانه (جنوب غرب اراک)", مجله بلورشناسی و کانی شناسی ایران، شماره ۳ (۱۳۸۸)، ص ۳۶۹-۳۸۰.
- [14] Hawthorne F. C., Henry D. J., "Classification of the minerals of the tourmaline group", *European Journal of Mineralogy* 11 (1999) 201-215.
- [15] London D., Maning D. A. C., "Chemical variation and significance of tourmaline from SW England", *Economic Geology* 90 (1995) 495-519.
- [16] Harraz H. Z., El-Sharkaway M. F., "Origin of tourmaline in the metamorphosed Sikait pelitic belt, south eastern desert, Egypt", *Journal of African Earth Science* 33 (2001) 391-416.

- بر اساس جانشینی‌های کاتیونی، تورمالین‌های منطقه‌ی نظام آباد در گستره‌ی قلیایی آکالی و نزدیک به قطب کلسیک قرار می‌گیرند در حالی که بیشتر تورمالین‌های مورد بررسی از نوع قلیایی نزدیک به قطب Vacancy group قرار می‌گیرند و تورمالین‌های سوزنی قلعه‌ی ثمورخان و برخی از نمونه‌های گیجالی و کله‌جوب به دلیل آنکه از نوع فوئیتیت هستند در منطقه Vacancy group قرار می‌گیرند.

- در نمودار $Mg / Fe + Mg$ نسبت به $Fe / Fe + Mg$ ، تورمالین‌های روستای دهگاه که به صورت گرهکی هستند، و بالاترین مقدار نمیزیم و تورمالین‌های قلعه‌ی ثمورخان و روستای کبوترلان بالاترین مقدار $Mg / Fe + Mg$ و کمترین میزان Mg دارند و قرار گیری همه‌ی نمونه‌ها زیر $3 < (Mg + Fe) / Mg < 7$ نشان دهنده‌ی جانشینی Al در موقعیت Y است.

- تورمالین‌های ماقمایی خود شکل و بدون منطقه‌بندی هستند و وجود این تورمالین‌ها به صورت گرهک در گرانیت‌های دهگاه و آستانه نشانه‌ی روشنی است از غنی بودن ماقمایی خاستگاه این گرانیتها از B است.

- تورمالین‌های گرمایی در سنگ‌های میزان گرانیتی شبیه آلومین (کوارتزدیوریت‌ها) وجود دارند. بنابراین نمونه‌های تورمالین‌دار نظام آباد از نوع گرمایی (ماقمایی تا خیری) با میزان کوارتزدیوریتی هستند و ترکیب شورلیت-درولیت دارند. در حالی که تورمالین‌های مناطق دیگر که به صورت رگمه‌ای آپلیتی و پیگماتیتی هستند، خاستگاه ماقمایی دارند. بدین ترتیب به نظر می‌رسد خاستگاه بور در واحدهای مختلف خاستگاه ماقمایی یا گرمایی دارند.

- نسبت $FeO^* = FeO / FeO + MgO$ در مناطق تورمالین‌دار بیش از ۰.۸ است که دلالت بر ریشه گرفتن بور از شاره‌های ماقمایی مراحل تأخیری دارد. این شاره‌های بوردار در تورمالین‌های نظام آباد از نوع گرمایی و در مناطق دیگر از نوع ماقمایی هستند.

مراجع

- [1] Slack J. F., Herriman N., Barnes R. G., Plimer I. R., "Stratiform tourmalinites in metamorphic terrenes and their geologic significance", *Geology* 12 (1984) 713-716.
- [2] Henry D. J., Guidotti C. V., "Tourmaline as a petrogenetic indicator mineral: an example from the staurolite grade metapelites of NW-Marine", *American Mineralogist* 70 (1985) 1-15.

boron content of natural hydrothermal fluids and tourmalinization process", Volume of Abstracts, International Symposium Experimental Mineralogy and Geochemistry, Nancy (1986) 140-141.

[21] Pirajno F., Smithies R.H., "The $FeO/(FeO+MgO)$ ratio of tourmaline: a useful indicator of spatial variations in granite-related hydrothermal mineral deposits", Journal of Geochemical Explorations 42 (1992) 371-381.

[۲۲] اسماعیلی د.، محمدی ح.، حق نظر م.، "مقایسه ترکیب شیمیایی تورمالین در رگه های کوارتز- تورمالین قلع و تنگستان دار مناطق شاهکوه (شرق ایران) و نظام آباد (غرب ایران)"، مجله بلورشناسی و کانی شناسی ایران، شماره ۳ (۱۳۸۸) .ص. ۳۴۳-۳۵۶

[17] Pesquera A., Torres-Ruiz J., Gil-Grespo P. P., Velilla N., "Chemistry and genetic implications of tourmaline and Li-F-Cs micas from the Valdeflores area (Caceres, Spain)", American Mineralogist 84 (1999) 55-69.

[18] Trumbull R.B., Chaussidon M., "Chemical and boron isotopic composition of magmatic and hydrothermal tourmalines from the Sinceni granite-pegmatite system in Swaziland", Chemical Geology 153 (1999) 125-137.

[19] Cavarretta G., Puxeddu M., "Schorl-Dravite-Ferridravite Tourmalines Deposited by Hydrothermal Magmatic Fluids during Early Evolution of the Larderello Geothermal Field", Italy. Economic Geology 85 (1990) 1236-1251.

[20] Weisbrod A., Polak C., Roy D., "Experimental study of tourmaline solubility in the system Na-Mg-Al-Si-B-O-H. Applications to the